

Novos protocolos de comunicação Screen-to-Camera (S2C) com dispositivos de exibição e captura de vídeos modernos

Palavras-Chave: Comunicações ópticas, Comunicações por Luz Visível, Processamento de imagens

Autores:

MIGUEL SORG PINHEIRO, FT - UNICAMP

Prof. Dr. LEANDRO RONCHINI XIMENES, FT - UNICAMP

INTRODUÇÃO:

A crescente demanda por maiores taxas de transmissão tem evidenciado as limitações do espectro de radiofrequência, impulsionando a busca por alternativas no espectro óptico [1]. Nesse contexto, as tecnologias de Comunicação Óptica sem Fio (*Optical Wireless Communication*, OWC), em especial a Comunicação por Câmera Óptica (*Optical Camera Communication*, OCC), surgem como uma solução promissora, aproveitando a vasta presença de câmeras em dispositivos modernos, como smartphones e tablets, para funcionarem como receptores de baixo custo [2].

Uma importante modalidade da OCC é a comunicação *Screen-to-Camera* (S2C), que utiliza telas como transmissores, abre um leque de aplicações em áreas como sinalização interativa e troca segura de dados [3]. Para superar os desafios da S2C, como as baixas taxas de quadros das câmeras e os efeitos de desfocagem óptica, esta pesquisa adota o esquema tensorial proposto em [3], baseado na modelagem pela decomposição PARAFAC [4].

Contudo, um dos desafios fundamentais em sistemas S2C é a seleção precisa e eficiente da Região de Interesse (*Region of Interest*, ROI), a área da imagem capturada que contém a tela transmissora. Uma demarcação imprecisa da ROI pode levar a um aumento significativo na taxa de erro de bit (Bit Error Rate, BER), comprometendo a comunicação. Diante disso, esta pesquisa teve como objetivo principal não apenas validar o sistema tensorial de comunicação S2C inicialmente apresentado em [4] em um maior número de cenários práticos, mas também desenvolver e incorporar um método de baixo custo computacional para a detecção automática da ROI, eliminando a necessidade de intervenção manual e aumentando a robustez do sistema.

METODOLOGIA:

A metodologia deste trabalho parte do estudo teórico e por simulações computacionais do esquema tensorial S2C já proposto em [3], e avança na implementação e testes experimentais práticos de um algoritmo para detecção automática da ROI.

A abordagem teórica do projeto baseia-se em um esquema de comunicação S2C que utiliza a decomposição PARAFAC para modelar o sinal recebido como um vídeo digital em escala de cinza. O vídeo recebido é representado como um tensor de terceira ordem, cujos fatores correspondem à matriz de símbolos transmitidos, à matriz que modela a degradação do canal e à estrutura do vídeo original. Para reduzir a complexidade computacional dos algoritmos de decomposição, que são proporcionais ao quadrado das dimensões espaciais [3], a tela é segmentada em blocos espaciais menores, como ilustrado na Figura 1 e proposto em [5]. Essa técnica explora a diversidade espacial, permitindo o processamento independente de cada bloco e melhorando a robustez do sistema.

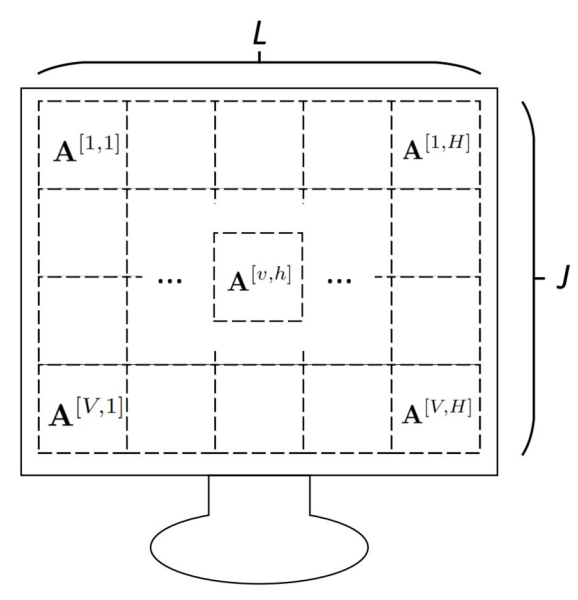


Figura 1: Esquema S2C com a tela segmentada em blocos espaciais independentes. Fonte: [5].

Para recuperação dados, dos foram considerados dois receptores principais: o OCC-ALS (Alternating Least Squares) e o OCC-KRF (Khatri-Rao Factorization), descritos respectivamente em [3] e [6]. O OCC-ALS é um método iterativo que realiza a estimação conjunta dos símbolos e da degradação, mas possui maior complexidade computacional. Em contrapartida, o OCC-KRF é um método não iterativo mais leve, porém exige conhecimento prévio do processo de degradação. Os parâmetros chave do sistema, como a resolução da tela (J e L), a resolução dos blocos (M e N) e o número de quadros (F), foram ajustados para analisar e estudar os efeitos da diversidade espacial e temporal.

Durante os testes práticos, observou-se a necessidade de um método automático para localizar a ROI. Para isso, foi desenvolvido e implementado um algoritmo baseado na análise da variância temporal dos pixels, detalhado no artigo submetido ao SBrT [7]. A premissa é que a região da tela que transmite dados exibe maior variação de intensidade ao longo do tempo em comparação com o fundo estático. O processo consiste nas seguintes etapas:

- 1. **Estimativa da Variância Temporal**: Para uma sequência de quadros de vídeo, calcula-se a variância da intensidade de cada pixel ao longo do tempo, gerando um "mapa de variância".
- 2. **Normalização e Limiarização de Otsu**: O mapa de variância é normalizado e, em seguida, binarizado utilizando o método de Otsu [8]. Essa técnica determina automaticamente um limiar ótimo para separar os pixels da ROI (alta variância) dos pixels do fundo (baixa variância).

- Pós-processamento Morfológico: Uma operação de abertura morfológica é aplicada à máscara binária para remover pequenos ruídos e regiões espúrias, resultando em uma máscara limpa contendo apenas a ROI.
- 4. **Determinação da ROI**: Por fim, um algoritmo de rotulação de componentes conectados identifica a região principal e define seu retângulo delimitador (*bounding box*), que corresponde à ROI detectada.

RESULTADOS E DISCUSSÃO:

Inicialmente, foram realizadas simulações no software *MATLAB* utilizando vídeos sintéticos em escala de cinza. O objetivo era validar o comportamento teórico do sistema em um ambiente controlado e analisar o impacto da diversidade espacial e temporal no desempenho. Foram geradas curvas de Taxa de Erro de Símbolo (SER) versus Relação Sinal-Ruído (SNR), adicionando ruído gaussiano (AWGN) ao sinal. A Figura 2 exemplifica um desses resultados, onde se avaliou o desempenho do receptor OCC-ALS sob diferentes configurações de diversidade temporal (número de quadros F) e de níveis de borramento: sem borramento (sim=1), borramento moderado (sim=2) e

borramento intenso (sim=3). O borramento foi implementado através de um filtro de disco (passa-baixas), de raio r=1 (sim=2) e r=2 (sim=3).

A análise da figura evidencia que o aumento da diversidade e a redução do borramento são cruciais para a performance. Por exemplo, ao se analisar o impacto da diversidade temporal, observa-se que aumentar o número de quadros de F=5 para F=10 (mantendo sim=1) permitiu uma redução de aproximadamente 8 dB na SNR necessária para se atingir a mesma SER de 10⁻¹. Por outro lado, o aumento do grau de borramento degradou drasticamente o desempenho; para F=10, passar do cenário sim=1 para

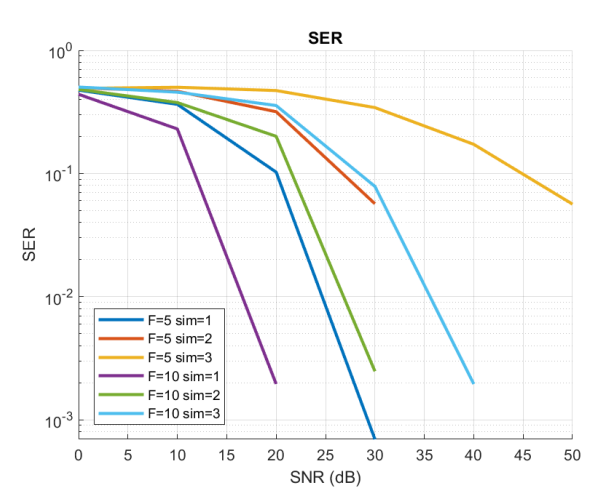


Figura 2: Impacto da diversidade temporal e do borramento no desempenho do receptor OCC-ALS

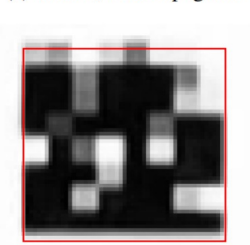
sim=2 implicou uma penalidade de mais de 10 dB de SNR para se atingir uma SER de 10⁻². O desempenho foi ainda pior no cenário com borramento intenso (sim=3), que atingiu a mesma taxa de erro apenas para valores de SNR muito elevados.

Posteriormente, para a validação prática do método de detecção automática da ROI, a transmissão de dados foi realizada a partir da tela de 15.6 polegadas de um notebook *Dell Inspiron 3530*, que exibia os vídeos a 3 quadros por segundo. A ROI transmitida possuía dimensões físicas de aproximadamente 4.7 cm x 4.7 cm. O receptor era um smartphone *Samsung Galaxy A54*, mantido em um suporte fixo para garantir estabilidade. A captura foi realizada com o aplicativo de câmera padrão no modo "Vídeo Profissional", configurado para uma resolução de 720p a 30 quadros por segundo (configurando uma superamostragem temporal), com velocidade do obturador em 1/60 s, balanço de branco travado em 4500 K, *HDR* desativado e foco fixo na área da tela.

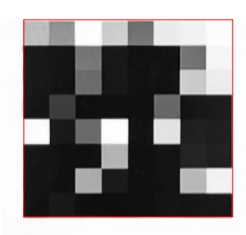
O esquema de comunicação tensorial, gerado em MATLAB, utilizou um vídeo em escala de cinza com uma resolução de ROI de J×L=8×8 pixels, contendo F=5 quadros e K=10 pulsos de modulação BPPM (Binary Pulse Position Modulation) por pixel. Neste caso, para a recuperação dos dados, foi empregado o receptor OCC-KRF. O sistema foi avaliado em quatro cenários distintos, combinando duas distâncias (30 cm e 150 cm) e duas condições de iluminação ambiente: "luzes acesas" (iluminação interna artificial de ~28 lux) e "luzes apagadas" (baixa luminosidade de ~4 lux). Para garantir a robustez estatística, a análise da taxa de erro de bit (BER) foi realizada a partir de 10.000 simulações de Monte Carlo para cada ponto, adicionando-se um ruído Gaussiano de média nula ao sinal.



(a) 30 cm, luzes apagadas



(c) 150 cm, luzes apagadas



(b) 30 cm, luzes acesas



(d) 150 cm, luzes acesas

eficácia do algoritmo de detecção foi primeiramente avaliada visualmente. Como demonstrado na Figura 3, o método foi capaz de isolar corretamente a ROI em todas as quatro condições testadas. Mesmo no cenário mais desafiador (150 cm de luzes acesas), onde com efeitos desfocagem e reflexos são mais pronunciados, o algoritmo conseguiu delimitar a área de interesse com precisão, com apenas um leve desalinhamento.

Em seguida, o impacto da precisão da ROI na qualidade da comunicação foi avaliado através de curvas de BER versus 1/Pn (inverso da potência do

Figura 3: ROI detectada sob quatro condições experimentais ruído adicionado via software), geradas a partir de 10.000 simulações de Monte Carlo para cada ponto. Os resultados estão compilados na Figura 4.

A análise da Figura 4 revela que os melhores desempenhos (menor BER) foram obtidos a 30 cm, com pouca diferença entre as condições de iluminação. O cenário de 150 cm com luzes apagadas também apresentou um desempenho muito próximo, sugerindo que a distância e o consequente borramento, isoladamente, têm um impacto limitado.

No entanto, o cenário mais desafiador (150 cm, luzes acesas) apresentou uma degradação de desempenho substancial. Este resultado, quando comparado à curva de referência com ROI manual,

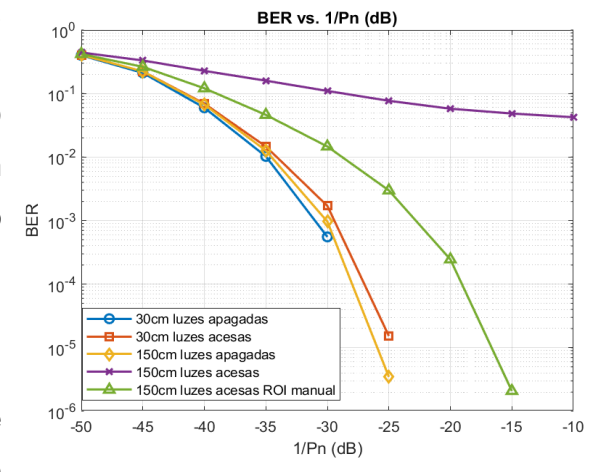


Figura 4: BER obtido usando detecção automática da ROI

indica que a degradação não se deve apenas a um erro na detecção da ROI, mas provavelmente a efeitos não lineares introduzidos pelo display ou pela câmera, como *blooming* (vazamento de luz entre pixels) e saturação do sensor, que são intensificados pela combinação de longa distância e alta iluminação ambiente.

CONCLUSÕES:

Este trabalho validou com sucesso a aplicação de modelos tensoriais para sistemas de comunicação S2C e, como principal contribuição, desenvolveu e integrou um método de baixo custo computacional e livre de treinamento para a detecção automática da Região de Interesse. Os resultados experimentais demonstraram que o algoritmo proposto, baseado na análise de variância temporal, é robusto e eficaz na localização da ROI sob diversas condições de distância e iluminação.

A análise de desempenho da comunicação via validação numérica e experimentos reais com um esquema *smartphone-laptop* revelaram que, embora a detecção da ROI seja precisa, fatores não lineares do canal óptico, como saturação do sensor e *blooming*, podem ser grandes limitantes de desempenho em cenários de longa distância com alta iluminação ambiente, sobretudo com dispositivos de uso comercial de baixo custo.

Como perspectivas futuras, pretende-se investigar a fundo esses efeitos não lineares e desenvolver técnicas para mitigá-los. Além disso, planeja-se avaliar o sistema em cenários com múltiplos transmissores simultâneos e adaptar o algoritmo para operação em tempo real, explorando o potencial da tecnologia S2C para aplicações dinâmicas e interativas no ecossistema das futuras redes 6G.

BIBLIOGRAFIA

- [1] N. Saeed, S. Guo, K.-H. Park, T. Y. Al-Naffouri e M.-S. Alouini, "Optical camera communications: Survey, use cases, challenges, and future trends", Physical Communication, vol. 37, p. 100900, 2019.
- [2] M. Z. Chowdhury, M. T. Hossan, A. Islam e Y. M. Jang, "A Comparative Survey of Optical Wireless Technologies: Architectures and Applications", IEEE Access, vol. 6, pp. 9819-9840, 2018.
- [3] L. R. Ximenes, B. A. Laredo e R. Arthur, "Integrated data detection and video restoration for optical camera communications", Digital Signal Processing, vol. 141, p. 104192, 2023.
- [4] R. Harshman, "Foundations of the PARAFAC procedure: Models and conditions for an 'explanatory' multimodal factor analysis," UCLA, Los Angeles, CA, USA, Tech. Rep. 16, 1970.
- [5] L. R. Ximenes and P. G. Cardoso, "Esquema de comunicação Screen-to-Camera (S2C) tensorial em blocos de vídeos segmentados," XLII Simpósio Brasileiro de Telecomunicações e Processamento de Sinais (SBrT 2024), Belém, PA, 2024.
- [6] L. R. Ximenes e M. F. Alves, "Tensor-Based Screen-to-Camera Communications", IEEE Communications Letters, vol. 27, no. 10, pp. 2787-2791, 2023.
- [7] L. R. Ximenes and M. S. Pinheiro, "Automatic Screen Detection via Temporal Variance Analysis for Screen-to-Camera Communications," XLIII Brazilian Symposium on Telecommunications and Signal Processing (SBrT 2025), Natal, RN, 2025 (aprovado).
- [8] N. Otsu, "A threshold selection method from gray-level histograms," IEEE Transactions on Systems, Man, and Cybernetics, vol. 9, no. 1, pp. 62–66, Jan. 1979.